

26. Косевич А М, Иванов Б А, Ковалев А С *Нелинейные волны намагниченности. Динамические и топологические солитоны* (Киев: Наукова думка, 1983)
27. Kosevich A M, Ivanov B A, Kovalev A S *Phys. Rep.* **194** 117 (1990)
28. Neubauer A et al. *Phys. Rev. Lett.* **102** 186602 (2009)
29. Вдовичев С Н и др. *Письма в ЖЭТФ* **94** 418 (2011) [Vdovichev S N *JETP Lett.* **94** 386 (2011)]
30. Fraerma A A et al. *J. Appl. Phys.* **103** 073916 (2008)
31. Мухаматчин К Р, Фраерман А А *Письма в ЖЭТФ* **93** 797 (2011) [Mukhamatchin K R, Fraerma A A *JETP Lett.* **93** 716 (2011)]
32. Slonczewski J C *Phys. Rev. B* **39** 6995 (1989)
33. Звездин А К, Пятаков А П *УФН* **179** 897 (2009) [Zvezdin A K, Pyatakov A P *Phys. Usp.* **52** 845 (2009)]
34. Пятаков А П, Звездин А К *УФН* **182** 593 (2012) [Pyatakov A P, Zvezdin A K *Phys. Usp.* **55** 557 (2012)]
35. Fraerma A A, Muhamatchin K R, Tokman I D *Phys. Rev. B* **84** 012402 (2011)

PACS numbers: 61.72.-y, 62.20.-x, 62.30.+d
DOI: 10.3367/UFNr.0182.201212i.1351

Нелинейные волновые процессы в деформируемом твёрдом теле как многоуровневой иерархически организованной системе

В.Е. Панин, В.Е. Егорушкин, А.В. Панин

1. Введение

В докладе теоретически и экспериментально обоснована концепция многоуровневого описания деформируемого твёрдого тела как нелинейной иерархически организованной системы. Поверхностные слои и все внутренние границы раздела рассматриваются как самостоятельная планарная функциональная подсистема с ближним порядком. Канализированное пластическое течение в планарной подсистеме является первичным. Оно обуславливает образование и эмиссию в кристаллическую подсистему всех типов деформационных дефектов. Этот процесс развивается по механизму нелинейных волн, которые определяют закон самосогласования пластического течения в иерархически организованных системах. Разрушение связано с волновым структурно-фазовым распадом материала.

Наука о пластичности и прочности твёрдых тел переживает стадию смены парадигмы. В течение длительного времени описание пластической деформации и разрушения твёрдых тел развивалось в рамках линейных приближений механики сплошной среды (макромасштабный уровень) и физики деформационных дефектов в нагруженном твёрдом теле (микромасштабный уровень). Однако в последние десятилетия стало очевидным, что деформируемое твёрдое тело представляет собой многоуровневую иерархически организованную систему, которая должна описываться в рамках нелинейной механики и неравновесной термодинамики [1].

В настоящее время в литературе широко обсуждаются механизмы деформации наnano-, микро-, мезо- и макромасштабных уровнях. К сожалению, в большинстве случаев классификация масштабов сводится только

к размерному фактору, сохраняясь в рамках лишь однорангового подхода. Проблемы многоуровневой самоорганизации и учёта нелинейности иерархически организованной системы пока остаются неразработанными.

Принципиально новой в многоуровневом подходе является концепция классификации поверхностных слоёв и всех внутренних границ раздела не как планарных дефектов в кристаллах (согласно подходу, принятому, например, в [2]), а как функциональных нелинейных планарных подсистем, в которых отсутствует трансляционная инвариантность [3–5].

Первичные пластические сдвиги зарождаются не в трансляционно-инвариантном кристалле, а в планарных сильно возбуждённых подсистемах в виде нелинейных волн канализированных локальных структурных превращений. При распространении таких волновых потоков в планарной подсистеме генерируются деформационные дефекты различных видов. Периодическая эмиссия дефектов в кристаллическую подсистему развивается как нелинейный волновой процесс. Термодинамическая стабильность кристаллической подсистемы в ходе пластической деформации непрерывно снижается, вызывая нелинейность поведения деформируемого твёрдого тела.

Настоящая статья посвящена теоретическому и экспериментальному обоснованию принципиальной важности роли нелинейных волн в пластической деформации и разрушении твёрдых тел.

2. Нелинейные волны

канализированных локальных структурных превращений в планарной подсистеме — основной механизм генерации деформационных дефектов.

Закон самосогласования пластической деформации на различных структурно-масштабных уровнях

Согласно [3], термодинамические основы эволюции зарождения деформационных дефектов как локальных структурных превращений органично представлены на кривой зависимости термодинамического потенциала Гиббса $F = F(V)$ от молярного объёма V , который рассматривается как обобщённый термодинамический параметр (рис. 1). Из выражения $F = U - TS + PV - \sum_{i=1}^n \mu_i C_i$ следует, что при возрастании F в деформируемом твёрдом теле из-за наличия слагаемых U и PV могут возникать локальные минимумы, обусловленные производством энтропии и перераспределением легирующих элементов (или примесей). В соответствии с неравновесной термодинамикой [6], по мере возрастания v в деформируемом кристалле вследствие появления в нём неоднородного механического поля возникают зоны неравновесных состояний, в которых рождается весь спектр деформационных дефектов: дислокации, дисклинации, мезо- и макрополосы локализованной пластической деформации. Наконец, при $V > V_{cr}$, когда потенциал $F(V)$ становится положительным, кристалл в локальных зонах сильно неравновесных состояний теряет термодинамическую стабильность и претерпевает структурно-фазовый распад. Вследствие избыточного молярного объёма в таких зонах формируются трещины (или поры).

Рассмотрение деформируемого твёрдого тела как нелинейной многоуровневой системы позволило установить механизмы формирования локальных зон сильно неравновесных состояний, в которых зарождаются деформационные дефекты различного масштабного уров-

В.Е. Панин, В.Е. Егорушкин, А.В. Панин. Институт физики прочности и материаловедения СО РАН, Томск, РФ
E-mail: paninve@ispms.tsc.ru

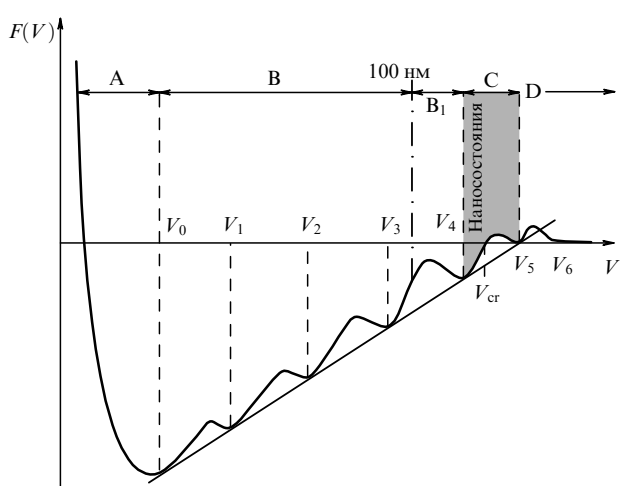


Рис. 1. Зависимость термодинамического потенциала Гиббса $F(V)$ от молярного объёма V с учётом локальных зон гидростатического растяжения различного масштаба, в которых возникают дефектные структуры. Области различных состояний: А — гидростатическое сжатие, В — мезосубструктуры различных структурно-масштабных уровней, В₁ — наноразмерные структуры, С — наноструктурные состояния, D — возникновение пористости и разрушения.

ня [3]. Необходимость самосогласования сдвигов на различных структурно-масштабных уровнях и "шахматный" характер распределения растягивающих и сжимающих нормальных напряжений на интерфейсах структурных подсистем (рис. 2) [7] обусловливают распространение в деформируемом твёрдом теле нелинейных волн канализированных локальных структурных превращений. С такими нелинейными волнами связано возникновение зон неравновесных состояний, релаксация которых происходит в результате генерации в кристаллической подсистеме деформационных дефектов. Эффект канализирования потоков локальных структурных превращений на мезомасштабных уровнях является необходимым условием для распространения многоуровневых нелинейных волн с учётом диссипативного процесса движения дислокаций на микромасштабном уровне.

Многоуровневое развитие нелинейных волн пластического течения предсказано в теоретических работах

[8–10]. Результаты экспериментальных исследований таких процессов обобщены в работах [3, 11–19].

В работах [12–14, 18] нелинейные волны канализированного пластического течения исследованы в nano-структуррированных поверхностных слоях плоских металлических образцов и в напылённых на подложку тонких пленках при одноосном растяжении. Во всех случаях выявлены нелинейные волны в виде двойных спиралей (рис. 3, 4). Их количественная обработка позволила провести сопоставление экспериментальных данных с результатами калибровочной теории нелинейных волн [10], которая изложена в разделе 3.

3. Калибровочная теория нелинейных волн

канализированных локальных структурных превращений
Введение дислокаций и дисклинаций в механику деформируемого твёрдого тела проводится с помощью калибровочной теории дефектов [20–22]. В работах [8–10] предложено в качестве группы калибровочных преобразований рассматривать простую девятипараметрическую группу преобразований вещественного трёхмерного пространства $GL(3, R)$, а также введены источники янг-миллсовских полей — квазиупругие микродисторсии. Полученные волновые уравнения при их анализе с учётом неравновесной термодинамики дискретных подсистем позволяют в рамках многоуровневого подхода обосновать как волновую природу канализированной пластической деформации, так и диссипативный процесс движения деформационных дефектов на одном структурно-масштабном уровне.

Одним из частных случаев волновых уравнений, полученных в [10], являются уравнения для безразмерных величин потока \mathbf{J} и плотности α линейных дефектов (разрывов вектора смещений \mathbf{u}):

$$\frac{\partial}{\partial x_\alpha} J_\mu^\alpha = - \frac{\partial \ln u_\mu}{\partial t}, \quad (1)$$

$$\varepsilon_{\mu\chi\delta} \frac{\partial J_\delta^\chi}{\partial x_\mu} = - \frac{\partial \alpha_\mu^\chi}{\partial t}, \quad (2)$$

$$\frac{\partial \alpha_\mu^\chi}{\partial x_\chi} = 0, \quad (3)$$

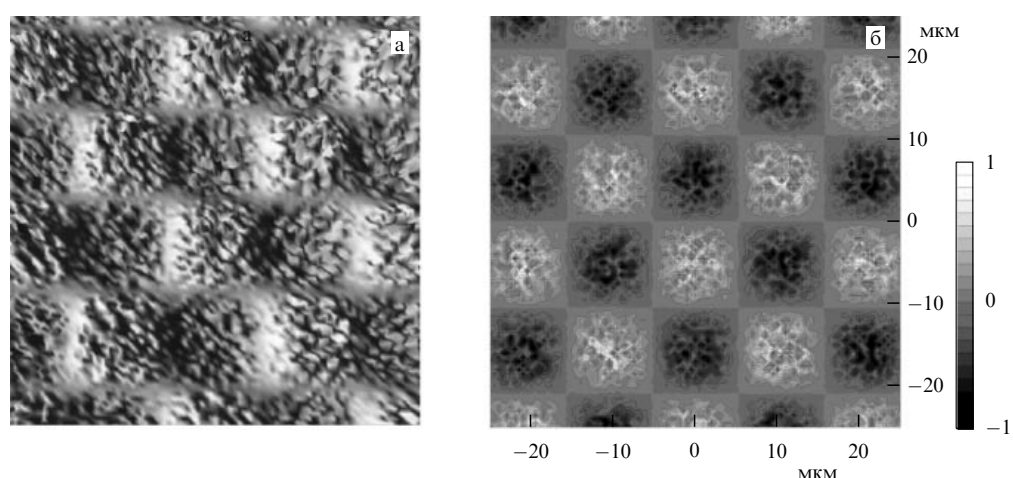


Рис. 2. Деформационный профиль в виде "шахматной доски" на поверхности деформируемого материала; модуль упругости поверхностного слоя $E_s = 0,5E_b$ (где E_b — соответствующий модуль упругости объёма материала). Толщина подложки принималась бесконечно большой по сравнению с толщиной поверхностного слоя [7].

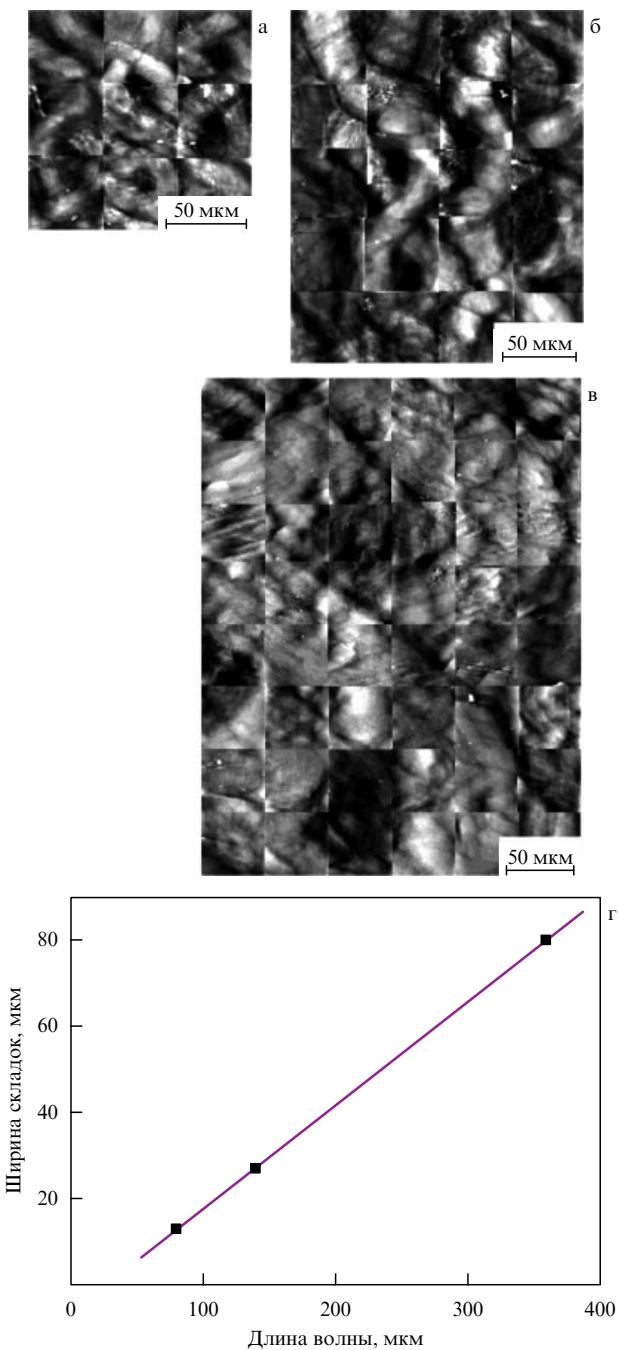


Рис. 3. Двойные спирали экструдированного материала в мезополосах канализированной деформации на поверхности плоских образцов ферритно-мартенситной стали сnanoструктурированным поверхностным слоем при различном растяжении ε : (а) $\varepsilon = 17\%$, толщина слоя 100 мкм; (б) $\varepsilon = 16\%$, толщина слоя 200 мкм; (в) $\varepsilon = 10\%$, толщина слоя 300 мкм. Температура 293 К [14]. (г) Линейная зависимость ширины мезополосы от длины волны двойных спиралей.

$$\varepsilon_{\mu\chi\delta} \frac{\partial \alpha_\delta^\chi}{\partial x_\chi} = \frac{1}{c^2} \frac{\partial J_\mu^\chi}{\partial t} + \sigma_\mu^\chi - P_v^\beta \frac{C_{\alpha\beta}^{\mu\nu}}{E}, \quad (4)$$

$$\frac{1}{c^2} \frac{\partial v_\mu}{\partial t} = \frac{\partial \sigma_\mu^\chi}{\partial x_\chi} - \frac{\partial P_v^\beta}{\partial x_\chi} \frac{C_{\alpha\beta}^{\mu\nu}}{E}, \quad (5)$$

где $v_\mu = \partial \ln u_\mu / \partial t$ — скорость упругой деформации среды с дефектами, $\sigma_\mu^\chi = \partial \ln u_\nu / \partial x_\beta (C_{\alpha\beta}^{\mu\nu}/E)$ — упругие напряжения в такой среде, c и \tilde{c} — соответственно скорость

звука и скорость распространения фронта пластического возмущения, $P_v^\beta(x, t)$ — пластическая часть дисторсии, $\varepsilon_{\mu\chi\delta}$ — символ Леви–Чевиты, $C_{\alpha\beta}^{\mu\nu}$ — упругие константы.

Уравнения (1)–(5) имеют следующий смысл: (1) — уравнение непрерывности среды с дефектами, из которого следует, что источником пластического потока является скорость перестроения дефектов; (2) — условие совместности пластической деформации (принципально важно, что изменение плотности среды со временем определяется в данном случае не операцией div , а операцией rot потока, т.е. его пространственной неоднородностью); (3) — условие непрерывности дефектов, что отражает отсутствие зарядов вихревой компоненты поля пластической деформации ($\alpha_\chi^\beta = \varepsilon_{\chi\mu\nu} \partial_\mu P_v^\beta$); (4) — определяющее уравнение для среды с пластическим течением; (5) — уравнение квазиупругого равновесия, представляющее собой известное в континуальной механике уравнение, но содержащее в правой части, кроме слагаемого, ответственного за упругую деформацию, слагаемое, описывающее пластические дисторсии, что фактически отражает рождение деформационных дефектов в локальных зонах гидростатического растяжения, сформированных концентратором напряжений.

Выражение (4), присущее только среде с пластическим течением, связывает временные изменения пластического потока с анизотропным пространственным изменением плотности дефектов ($\varepsilon_{\mu\chi\delta} \partial \alpha_\delta^\chi / \partial x_\chi$) и источниками ($\sigma_\mu^\chi - P_v^\beta C_{\alpha\beta}^{\mu\nu} / E$). Отличие уравнений (4) и (5) от соответствующих уравнений теории упругости состоит в том, что изменение скорости пластической деформации со временем определяется самими напряжениями, а не производными $\partial \sigma_\mu^\chi / \partial x$, как в упругом случае. Кроме того, в правую часть (4) в качестве источника входит сама пластическая дисторсия $P_v^\beta(x, t)$, что свидетельствует о двойственности дефектов как полевых источников.

Из системы уравнений (1)–(5) могут быть выведены волновые уравнения для безразмерных величин плотности потока \mathbf{J} и плотности дефектов α :

$$\begin{aligned} \frac{1}{\tilde{c}^2} \frac{\partial^2 J_\chi^\mu}{\partial t^2} - \frac{\partial^2 J_\chi^\mu}{\partial x_\nu^2} &= \\ = \frac{\partial}{\partial t} \left(\frac{\partial \ln u_\chi(x, t)}{\partial x_\mu} - \frac{1}{E} \frac{\partial \ln u_\beta}{\partial x_\nu} C_{\alpha\beta}^{\mu\nu} - \frac{1}{E} P_v^\beta C_{\alpha\beta}^{\mu\nu} \right), \quad (6) \end{aligned}$$

$$\begin{aligned} \frac{1}{\tilde{c}^2} \frac{\partial^2 \alpha_\chi^\mu}{\partial t^2} - \frac{\partial^2 \alpha_\chi^\mu}{\partial x_\nu^2} &= \\ = \varepsilon_{\mu\chi\sigma} \left(\frac{\partial^2 \ln u_\beta(x, t)}{\partial x_\chi \partial x_\nu} C_{\alpha\beta}^{\sigma\nu} - \frac{\partial P_v^\beta}{\partial x_\chi} C_{\alpha\beta}^{\sigma\nu} \right) \frac{1}{E}, \quad (7) \end{aligned}$$

при условии совместности источников

$$\frac{\partial N_\mu}{\partial t} + \varepsilon_{\mu\chi\sigma} \frac{\partial M_\sigma}{\partial x_\chi} = 0, \quad (8)$$

где M — правая часть выражения (6), N — правая часть выражения (7), $u(x, t)$ — неупругие смещения в волне неупругой локализованной деформации.

Правая часть уравнения (6) характеризует источники потока дефектов, которые определяются скоростью квазиупругой деформации $\partial/\partial t (E_\mu^\alpha E - E_\nu^\beta C_{\alpha\beta}^{\mu\nu}) (1/E)$, где E_μ^α и E_ν^β — шаровые и девиаторные компоненты тен-

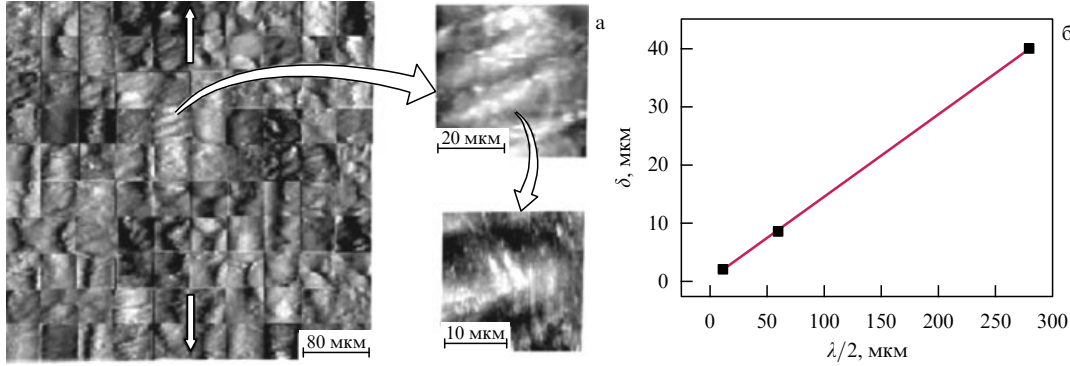


Рис. 4. (а) Нелинейные волны в виде двойных спиралей на поверхности образца технического титана ВТ1-0, подвергнутого растяжению $\varepsilon = 16\%$ при $T = 293$ К после предварительной ультразвуковой обработки и электролитического наводороживания в течение 1 ч. Изображение получено с помощью сканирующей туннельной микроскопии [18]. (б) Линейная зависимость толщины экструдированных ламелей различного масштаба от их длины.

зора деформации соответственно, величина $E_\mu^\alpha E - E_v^\beta C_{\alpha\beta}^{\mu\nu}$ представляет собой разность внутренних напряжений сжатия – растяжения и сдвига, связанных с распределением напряжений в зоне концентратора напряжений. Релаксационные процессы перестройки дефектов (типа кластеров различных атомных конфигураций или их конгломератов) представлены в (6) членом $P_v^\beta C_{\alpha\beta}^{\mu\nu}/E$.

Правая часть уравнения (7) характеризует источник плотности деформационных дефектов, которым является завихрённость $\varepsilon_{\mu\chi\delta} \partial/\partial x (E_v^\beta - P_v^\beta) (C_{\alpha\beta}^{\mu\nu}/E)$ сдвиговой деформации, вызванной релаксацией сдвиговых напряжений при генерации деформационных дефектов в локальных зонах гидростатического растяжения.

Характер волновых потоков деформационных дефектов определяется правой частью уравнений (6) и (7). Пластическая дисторсия $P_v^\beta(x, t)$ играет здесь принципиально важную роль.

Предваряя интерпретацию уравнений (1)–(7), отметим, что волновые уравнения пластического течения твёрдых тел получены и в работах [20–22], однако они не были интерпретированы как волны пластичности. Вывод о волновом характере распространения возмущения в среде всегда связан с вопросом о групповой скорости возмущения. В отсутствие дисперсии групповой скорости волна вполне определена. Неоднородность одноуровневой среды приводит к дисперсии и разбиению волнового пакета. Поэтому в рамках одноуровневого подхода волн пластичности не может быть в принципе.

Однако при рассмотрении деформируемого твёрдого тела как многоуровневой системы с учётом наличия планарных подсистем в виде поверхностных слоёв и внутренних границ раздела заключение о нелинейных волнах пластичности и разрушения получает убедительное обоснование. Более того, вне схемы нелинейных волн невозможно обеспечить воспроизведение концентраторов напряжений при распространении пластических сдвигов как локальных структурных превращений.

Рассмотрим локализованный поток дефектов в планарной структуре в случае, когда деформация вдоль направления L развивается каналированно между двумя слоями кристаллического материала. Общую систему координат выберем так, чтобы ось z была направлена вдоль L , а координаты x и y изменялись в пределах толщины деформируемого слоя. Согласно [10], распределение пластического потока в локальной ($r < L$) обла-

сти имеет вид

$$\mathbf{J} = \frac{b_1 - b_2}{4\pi} \chi(s, t) \mathbf{b}(s, \mathbf{t}_n) \left(\ln \frac{2L}{r} - 1 \right) - \nabla f, \quad (9)$$

где \mathbf{b} — вектор бинормали в локальной системе координат (перпендикулярный к нормали к витку спирали волны и её касательной), χ — изменение кривизны области (изменение кривизны оси области), обусловленное внешней нагрузкой, \mathbf{t}_n — касательная, s — текущее значение длины области, b_1, b_2 — модули так называемого вектора Бюргерса объёмной трансляционной и приповерхностной или ротационной несовместности соответственно, ∇f — градиентная часть потока, обусловленная сторонними источниками.

Определим изменение формы области потока локализованной деформации длиной L с начальными размерами δ . Пространственно-временные изменения формы $\mathbf{E}(s, t)$ в процессе деформации могут быть найдены из уравнения:

$$\mathbf{J} = \frac{\partial \mathbf{E}(s, t)}{\partial t}. \quad (10)$$

Используя выражение для \mathbf{J} и сделав замену $t' \rightarrow t(b_1 - b_2)/(4\pi)[\ln(2L/r) - 1]$, получим

$$\frac{\partial \mathbf{E}(s, t)}{\partial t} = \chi \mathbf{b} - \frac{4\pi}{(b_1 - b_2)[\ln(2L/r) - 1]} \nabla f. \quad (11)$$

Первое слагаемое в правой части (11) отражает кривизну потока дефектов (его завихрённость). Решая (11) совместно с уравнением $\partial \mathbf{E} / \partial s = \mathbf{t}$ и уравнениями Френе [23], можно показать, что изменение формы рассматриваемой области описывается выражениями

$$E_x(s, t) = -\frac{2}{\beta(v^2 + 1)} \left\{ \operatorname{sech} [2\beta(s + 4vt)] \sin [2\beta(s + 4vt)] - \operatorname{sech} (8\beta vt) \sin (8\beta vvt) \right\}, \quad (12)$$

$$E_y(s, t) = -\frac{2}{\beta(v^2 + 1)} \left\{ \operatorname{sech} [2\beta(s + 4vt)] \cos [2\beta(s + 4vt)] - \operatorname{sech} (8\beta vt) \cos (8\beta vvt) \right\}, \quad (13)$$

$$E_z(s, t) = s - \frac{1}{\beta(v^2 + 1)} \left\{ \tanh [2\beta(s + 4vt)] - \tanh (8\beta vt) \right\}. \quad (14)$$

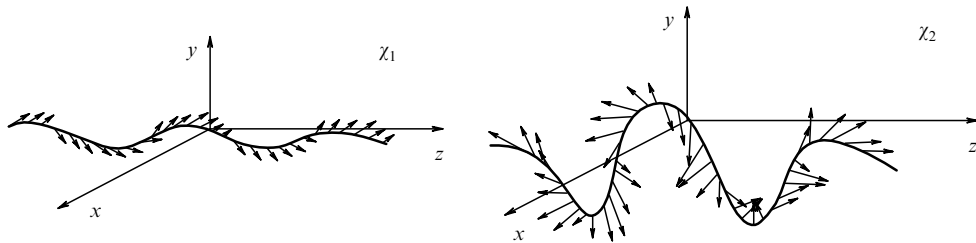


Рис. 5. Зависимость формы и скорости локализованной пластической деформации от кривизны χ деформируемой области, $\chi_1 < \chi_2$.

Уравнения (12)–(14) определяют изменение формы области, ось которой — спиральная кривая с постоянным кручением $\tau = 2v$. В этих соотношениях $v = -v/\beta$, v характеризует скорость перемещения локальных структурных превращений в области спиральной кривой вдоль направления L , параметр β связан с кривизной χ соотношением

$$\chi(s, t) = 4\beta \operatorname{sech}[2\beta(s + 4vt)]. \quad (15)$$

Кривизна χ спирали является важным параметром канализированного волнового распространения локализованного пластического течения. Влияние этого параметра на форму спирали и локальную скорость v поперечного формоизменения деформируемой области показано на рис. 5. Как видно из рис. 5а, при малой кривизне χ скорость v поперечного формоизменения невелика, а спираль испытывает слабо выраженное кручение с большой длиной поперечной волны. Такая картина наблюдается при развитии пластического сдвига в сильно неравновесных условиях, например, вnanostructuredированных поверхностных слоях. При увеличении кривизны χ длина поперечной волны резко уменьшается, а скорости поперечного формоизменения возрастают (рис. 5б). Это очень важный эффект, так как в зонах сильной кривизны резко возрастает локальный эффективный потенциал $U(V, \alpha)$ в выражении для неравновесного термодинамического потенциала Гиббса $F(V, \alpha) = F(V) - U(V, \alpha)$, где α характеризует поле возмущений, вызванных локальным нарушением трансляционной инвариантности кристалла [6]. Это обуславливает уменьшение $\|F(V, \alpha)\|$, увеличение молярного объёма V в зоне кривизны и возрастание скорости всех видов атомных перераспределений. При достижении условия $V > V_{cr}$ в зоне сильной кривизны возникает структурно-фазовый распад кристаллического состояния и развивается разрушение материала. Проявление данного эффекта широко известно в инженерной практике.

4. Экспериментальная верификация предсказаний калибровочной теории нелинейных волн канализированной пластической деформации

На рисунке 3 представлены нелинейные волны пластического течения, канализированные в nanostructuredированных поверхностных слоях плоских образцов ферритно-мартенситной стали в условиях одноосного растяжения [14]. Наблюдение этих волн позволяет провести экспериментальную верификацию предсказаний калибровочной теории волновой деформации в планарных подсистемах. Изменение толщины nanostructuredированного поверхностного слоя обуславливает изменение как длины λ нелинейной волны, так и ширины δ спирального канали-

рованного потока. Из уравнения (9) нетрудно получить соотношение, связывающее δ и λ . Согласно [10],

$$\delta = L \exp \left[- \frac{4\pi(\nabla f \mathbf{b})}{\chi(b_1 - b_2)} \right]. \quad (16)$$

При заданном встречном поле ∇f со стороны кристаллической подложки скалярное произведение $\nabla f \mathbf{b} = 0$, если $\nabla f \perp \mathbf{b}$. Это условие соответствует представленным на рис. 3 двойным спиралям экструдированного материала. Данное утверждение особенно убедительно иллюстрируется структурой нелинейных волн в образцах титана с обогащённым водородом поверхностным слоем [18]. Механизм экструзии материала поверхностного слоя в нелинейной волне исследован в [18] при одностороннем растяжении плоских образцов поликристаллического титана, у которых поверхностные слои были nanostructuredированы и обогащены водородом. Титан имеет очень низкую сдвиговую устойчивость (его энергия дефекта упаковки всего порядка 10 мДж м^{-2}). Nanostructuredирование поверхностного слоя и его наводороживание дополнительно снижают эту сдвиговую устойчивость.

Использование сканирующей тунNELьной микроскопии позволило [18] выявить механизм экструзии материала в канализированной нелинейной волне. Из рисунка 4 видно, что волновая экструзия материала происходит в результате взаимного смещения отдельных ламелей. При этом каждая ламель экструдируется взаимным смещением ещё более мелких поперечных ламелей. Бинормаль к каждой ламели перпендикулярна к плоскости образца и, следовательно, направлению встречного поля ∇f со стороны кристаллической подложки. Эти данные свидетельствуют об иерархически организованной структуре нелинейной волны экструдируемого материала. Соответственно, на каждом масштабном уровне должна существовать линейная зависимость между величинами δ и λ . Это действительно подтверждается экспериментально.

На рисунке 3г представлена зависимость $\delta = f(\lambda)$, рассчитанная по данным [14] для ферритно-мартенситной стали. Эта зависимость соответствует прямой $\delta = k\lambda$ с коэффициентом $k = 0,75$. Три масштаба нелинейных волн, представленных на рис. 4а, также описываются уравнением прямой $\delta = k_1\lambda$ (рис. 4б), если принять длину ламели равной $1/2\lambda$, а её толщину — равной δ . Коэффициент $k_1 = 0,17$ в 4,4 раза меньше коэффициента k для стали. Это означает, что в титане с низкой сдвиговой устойчивостью мезополоса заданной мощности способна на длине своей волны преодолеть расстояние, в 4,4 раза большее, чем аналогичная мезополоса на длине своей волны в высокопрочной стали. Данная закономер-

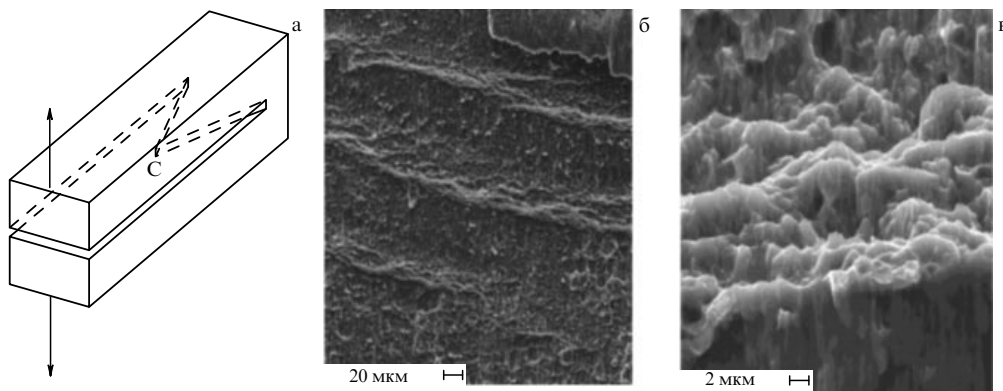


Рис. 6. Нелинейные волны на поверхности разрушения при растяжении образца с шевронным надрезом [24]: (а) форма образца; (б) периодические белые поперечные полосы материала, испытавшего структурно-фазовый распад; (в) пористаяnanoструктура поперечной полосы материала. Изображение получено с помощью растровой электронной микроскопии.

ность подтверждается и характеристиками нелинейных волн в наноструктурированных поверхностных слоях других материалов.

Хорошее согласие предсказаний калибровочной теории нелинейных волн канализированных структурных превращений в планарных подсистемах с экспериментальными данными свидетельствует о справедливости концепции авторов настоящей статьи о необходимости представления поверхностных слоёв и внутренних границ раздела ведущей функциональной подсистемой в деформируемом твёрдом теле. Теоретические и экспериментальные исследования нелинейных волн канализированного пластического течения в планарных подсистемах при учёте хорошо развитой теории деформационных дефектов в кристаллах открывают путь построения общей теории деформируемого твёрдого тела как нелинейной иерархически организованной системы [4].

5. Нелинейные волновые процессы разрушения

В общем случае разрушение твёрдого тела является диссипативным процессом. Трещина представляет собой поворотную моду деформации на макромасштабном уровне. В соответствии с законом сохранения момента импульса эта мода должна равняться сумме поворотных мод на меньших масштабных уровнях. В сплошной среде — это диссипативный процесс.

Однако если создать условия канализированного распространения трещины и максимально локализовать эффекты диссипации, то трещина будет распространяться как нелинейный волновой процесс. Это вытекает из неравновесной термодинамики её распространения. Раскрытие трещины обусловлено структурно-фазовым распадом материала перед её вершиной, и этот процесс является пороговым. Распространение трещины связано с релаксацией концентратора напряжений в её вершине. Рост трещины должен периодически останавливаться для восстановления концентратора напряжений и установления в новой зоне материала состояния структурно-фазового распада. Это типичный нелинейный волновой процесс, который описывается уравнением (6), если пренебречь в нём слагаемым $P_v^\beta C_{\alpha\beta}^{\mu\nu}/E$. Возрастание слагаемого $\partial \ln u_\alpha(x, t)/\partial x_\mu$ связанное с нормальными напряжениями, будет периодически компенсироваться квазиупругими силами, представленными вторым слагаемым, $(\partial \ln u_\beta/\partial x_\nu) C_{\alpha\beta}^{\mu\nu}/E$. Это обусловит нелинейный

волновой характер распространения трещины с периодическими остановками. Естественно, для обнаружения подобных волновых процессов скорость изменения правой части уравнения (6) должна быть небольшой, т.е. нелинейные волны разрушения должны быть медленными.

Такие волновые процессы канализированного разрушения описаны в [17] при распространении усталостных трещин в двухслойных композитах. Вначале на интерфейсе разнородных сред при их циклическом знакопеременном изгибе развивались зигзагообразные мезополосы локализованной пластической деформации. Затем в одной из мезополос распространялась канализированная усталостная трещина сдвигов–поворотов как нелинейный волновой процесс.

В работе [24] канализование разрушения и минимизация диссипативных процессов реализованы при растяжении плоских образцов субмикрокристаллического титана с шевронным надрезом (рис. 6а). В условиях одноосного растяжения в вершине С тонкого планарного слоя, имеющего форму шевронного надреза, зарождалась трещина нормального отрыва, которая канализированно распространялась вдоль продольного сечения образца. Сильная термодинамическая неравновесность субмикрокристаллического состояния обуславливалась быстрый структурно-фазовый распад материала в области перед вершиной трещины. Далее в этой области распространяется поперечная волна разрушения, смещающая продукт распада кристаллического материала на периферию данной области (рис. 6б). Пористая nanoструктура испытавшего структурно-фазовый распад материала, оттеснённого волной разрушения на периферию поперечной полосы, представлена на рис. 6в. Такой материал проявляет свечение во вторичных электронах и легко выявляется. Данные результаты имеют важное значение для объяснения механизма разрушения твёрдых тел.

Подобные нелинейные волновые процессы разрушения характерны для многих наноструктурированных объектов (многослойные наноструктурные покрытия, тонкоплёночные структуры в микроэлектронике, наноструктурированные поверхностные слои функционального назначения в материаловедении и др.). Данными волновыми процессами можно управлять на основе теории [10].

6. Заключение

Деформируемое твёрдое тело предложено рассматривать как нелинейную иерархически организованную систему, состоящую из двух самосогласованных подсистем. Деформация трёхмерной трансляционно-инвариантной кристаллической подсистемы описывается на основе теории деформационных дефектов. При этом следует учитывать локальные структурные превращения в ядрах деформационных дефектов и возрастание термодинамической неравновесности деформируемого кристалла. Поверхностные слои и все внутренние граници раздела следует рассматривать не как планарные дефекты в трёхмерном кристалле, а как самостоятельную планарную нелинейную подсистему с нарушенной трансляционной инвариантностью. Первичные пластические сдвиги в нагруженном твёрдом теле связаны не с дислокациями, а с нелинейными волнами канализированных структурных превращений в планарной подсистеме. Распространение нелинейных канализированных волн сопровождается периодической генерацией в зонах сильной кривизны деформационных дефектов, эмиссия которых в кристаллическую подсистему обеспечивает пластическое изменение её формы.

Приводится теоретическое и экспериментальное обоснование развивающейся концепции. Показано, что развитая в [10] теория нелинейных волн канализированной пластической деформации удовлетворительно описывает закономерности развития нелинейных волновых процессов, которые определяют закон самосогласования пластического течения в многоуровневых иерархически организованных системах. Нарушение такого самосогласования вызывает разрушение нагруженного твёрдого тела. Неравновесная термодинамика разрушения связана со структурно-фазовым распадом конденсированного состояния твёрдого тела в областях, где термодинамический потенциал Гиббса оказывается положительным. Канализированное распространение трещин в многоуровневых системах также развивается как нелинейный волновой процесс.

Работа поддержана грантами СО РАН (III.20.1.1 и 72), Президиума РАН (2.2 и 25.3), РФФИ (10.01.13300-РТ_ОМИ) и грантом Президента РФ НШ-6116.2012.1.

Список литературы

1. Панин В Е, Лихачев В А, Гриняев Ю В *Структурные уровни деформации твёрдых тел* (Новосибирск: Наука, 1985)
2. Meyers M A, Chawla K K *Mechanical Behavior of Materials* (Upper Saddle River, NJ: Prentice Hall, 1999)
3. Панин В Е, Егорушкин В Е, Панин А В *Физ. мезомех.* **13** (5) 7 (2010) [Panin V E, Egorushkin V E, Panin A V *Phys. Mesomech.* **13** 215 (2010)]
4. Панин В Е, Егорушкин В Е *Физ. мезомех.* **14** (3) 7 (2011) [Panin V E, Egorushkin V E *Phys. Mesomech.* **14** 207 (2011)]
5. Панин В Е, Егорушкин В Е, Панин А В *Физ. мезомех.* **15** (1) 7 (2012)
6. Леонович М А *ЖЭТФ* **8** 844 (1938)
7. Панин В Е, Егорушкин В Е, Панин А В, Моисеенко Д Д *ЖТФ* **77** (8) 62 (2007) [Panin V E, Egorushkin V E, Panin A V, Moiseenko D D *Zh. Tech. Phys.* **52** 1024 (2007)]
8. Панин В Е и др. *Изв. вузов. Физика* **30** (1) 34 (1987) [Panin V E et al. *Sov. Phys. J.* **30** 24 (1987)]
9. Егорушкин В Е *Изв. вузов. Физика* **33** (2) 51 (1990) [Egorushkin V E *Sov. Phys. J.* **33** 135 (1990)]
10. Егорушкин В Е *Изв. вузов. Физика* **35** (4) 19 (1992) [Egorushkin V E *Sov. Phys. J.* **35** 316 (1992)]
11. Панин В Е, Панин А В *Физ. мезомех.* **8** (5) 7 (2005) [Panin V E, Panin A V *Phys. Mesomech.* **8** (5–6) 7 (2005)]
12. Панин А В *Физ. мезомех.* **8** (3) 5 (2005) [Panin A V *Phys. Mesomech.* **8** (3–4) 5 (2005)]
13. Панин В Е и др., в сб. *Поверхностные слои и внутренние граници раздела в гетерогенных материалах* (Отв. ред. В Е Панин) (Новосибирск: Изд-во СО РАН, 2006)
14. Panin A V et al. *J. Nucl. Mater.* **386–388** 466 (2009)
15. Дерюгин Е Е и др. *Физ. мезомех.* **4** (3) 35 (2001) [Deryugin E E et al. *Phys. Mesomech.* **4** (3) 35 (2001)]
16. Елсукова Т Ф, Панин В Е *ФММ* **97** (1) 121 (2004) [Elsukova T F, Panin V E *Phys. Met. Metallog.* **97** (1) 111 (2004)]
17. Панин В Е, Елсукова Т Ф, Попкова Ю Ф *Доклады РАН* **443** 40 (2012) [Panin V E, Elsukova T F, Popkova Yu F *Dokl. Phys.* **57** 100 (2012)]
18. Панин А В *ФММ* **98** 109 (2004) [Panin A V *Phys. Met. Metallog.* **98** 198 (2004)]
19. Zuev L B, Barannikova S A *Natural Science* **2** 476 (2010)
20. Kadić A, Edelen D G B *A Gauge Theory of Dislocations and Disclinations* (Berlin: Springer-Verlag, 1983) [Кадич А, Эделен Д *Калибровочная теория дислокаций и дискиназий* (М.: Мир, 1987)]
21. Lagoudas D C, Edelen D G B *Int. J. Eng. Sci.* **27** 411 (1989)
22. Cünther H *Ann. Physik* **495** 291 (1983)
23. Mc Connell A J *Application of Tensor Analysis* (New York: Dover Publ., 1957) [Мак-Коннел А Дж *Введение в тензорный анализ с приложениями к геометрии, механике и физике* (М.: Физматгиз, 1963)]
24. Панин В Е и др. *Физ. мезомех.* **15** (6) 5 (2012) [Panin V E et al. *Phys. Mesomech.* **16** (2) 81 (2013)]